

بررسی تغییرشکل ورق‌های ویسکوکشسان ضخیم در طول زمان بارگذاری به روش نوار محدود

حسین عموشاهی (استادیار)
دانشکده فنی هندی، دانشگاه اصفهان

مهندسی عمران شریف، زمستان ۱۳۹۷ (۳-۳)
دوره ۲ - شماره ۲/۴، ص. ۱۴-۳

در نوشتار حاضر، به بررسی چگونگی استفاده از روش نوار محدود در آنالیز ورق‌های ویسکوکشسان ضخیم پرداخته شده است. یکی از خواص اغلب پلیمرها، خاصیت ویسکوکشسانی است، که در نوشتار حاضر به کمک سری پرونی مدل و روش نوار محدود بر اساس آن بازنویسی شده است. سپس به کمک رابطه‌ی کار مجازی، ماتریس‌های سختی و بردارهای نیرویی مورد نیاز استخراج شده‌اند. پس از آن به کمک روش جداسازی زمانی، رابطه‌ی کار مجازی در بازه‌های زمانی کوچک تقریب زده شده و مسئله به صورت یک مسئله‌ی مقادیر اولیه آنالیز شده است. نتایج به دست آمده از حل مسئله‌ی ورق در اولین گام زمانی با نتایج دقیق یک مسئله‌ی کشسان مقایسه و رفتار ماده در طول زمان بررسی شده است. همچنین اثر باربرداری در رفتار و تغییرشکل‌های ایجاد شده در ورق نیز ارزیابی شده است. در ادامه، آثار تغییر ضخامت، ابعاد ورق و نیز تئوری‌های مختلف تغییر شکل برشی بررسی شده است.

واژگان کلیدی: ورق ضخیم ویسکوکشسان، آسودگی تنش‌ها، باربرداری، تئوری تغییرشکل برشی مرتبه‌ی سوم، روش نوار محدود.

h.amoushahi@eng.ui.ac.ir

۱. مقدمه

امروزه استفاده از مواد پلیمری، به سرعت جای خود را در بین مصالح به کار گرفته شده در سازه‌ها باز کرده است. از این رو بررسی خواص مربوط به آن‌ها، اهمیت زیادی دارد. از طرفی تحلیل رفتار سازه‌ها تحت اثر بارهای مختلف، نیازمند شناخت کامل خواص مکانیکی مواد تشکیل دهنده‌ی آن است. در پژوهش حاضر، به طور خاص به بررسی خاصیت ویسکوکشسانی مواد پرداخته شده است. خاصیت ویسکوکشسانی خاصیتی از مواد است که تحت اثر تغییرشکل‌های به وجود آمده، هر دو خاصیت کشسان بودن و ویسکوز بودن را به صورت هم‌زمان از خود نشان می‌دهد. در مواد ویسکوز، تنش‌های ایجاد شده در زمان در برابر جریان برشی و کرنش‌ها به صورت خطی است؛ در حالی که در مواد کشسان، کرنش هم‌زمان با تنش‌های وارده، کم و یا زیاد می‌شود و با از بین رفتن تنش‌ها، کرنش‌های موجود در جسم نیز از بین می‌روند. مواد ویسکوکشسان این خواص را توأمان دارند و بنابراین کرنش‌های به وجود آمده در آن‌ها وابسته به زمان هستند. در نوشتار حاضر، حل غیرخطی ورق‌های ویسکوکشسان به روش نوار محدود انجام می‌گیرد، که یکی از روش‌های عددی پرکاربرد برای تحلیل ورق‌های مستطیلی است. شاید بتوان گفت که برای اولین بار در کتابی در سال ۱۹۷۵^[۱]، مبانی تئوریک و پایه‌ی ویسکوکشسانی ارائه و روش‌های تحلیلی به شکل موفقیت‌آمیزی برای بررسی پاسخ مکانیکی محیط‌های

پیوسته‌ی ویسکوکشسان و نیز روش تبدیل لاپلاس در آنالیز تیرهای ویسکوکشسان استفاده شدند. به طور خاص روش اجزاء محدود در حل مسائل ویسکوکشسان در بسیاری از مطالعات استفاده شده است. برای نمونه، در سال ۱۹۷۰^[۲] روش اجزاء محدود در حل مسائل ویسکوکشسان و نیز اطلاعات مربوط به هر گام زمانی برای تعیین وضعیت سازه در گام زمانی بعد استفاده شده است. همچنین در سال ۱۹۹۵^[۳]، به طور موفقیت‌آمیزی یک تیر با فرضیات تیموشنکو تحلیل و به کمک تبدیل لاپلاس، روابط اجزاء محدود وابسته به زمان با روابط تحلیلی ساده‌تری در حوزه‌ی متغیر لاپلاس (s) جایگزین شده است و در نهایت، پاسخ‌های سازه در حوزه‌ی زمان به کمک تبدیل‌های معکوس لاپلاس به دست آمده‌اند. در روند محاسبات اخیر، نسبت پواسون ثابت فرض شده است، که با فرضیات مطالعات دیگری در سال ۲۰۰۲^[۴] سازگاری دارد، که در آن یک روش تحلیلی برای آنالیز تیر با فرضیات تیموشنکو برای ضریب پواسون وابسته به زمان و مستقل از زمان ارائه شده بود. در سال ۲۰۰۰^[۵] نیز روش اجزاء محدود برای تیرها، ورق‌ها و پوسته‌ها به کمک تبدیل فوریه برای حل مسائل در حوزه‌ی بسامد به جای حوزه‌ی زمان در حل یک مسئله مقادیر ویژه به کار گرفته شد. همچنین در سال ۲۰۰۸^[۶] روابط تغییرشکل غیرکشسان در آنالیز یک تیر برنولی استفاده شد. باید دقت داشت که وقتی بتوان مدول آسودگی را به صورت یک سری پرونی نوشت، معادلات بنیادی ویسکوکشسان خطی که به شکل انتگرال‌های پیچیده هستند، را می‌توان به صورت

تاریخ: دریافت ۱۳۹۵/۷/۱۲، اصلاحیه ۱۳۹۶/۱/۱۴، پذیرش ۱۳۹۶/۲/۲۳.

DOI:10.24200/J30.2019.1444

زمان تحلیل شود تا بتوان تاریخچه تغییرشکل‌های به وجود آمده در ورق را ارزیابی کرد. همچنین به کمک روش مذکور، گستره‌ی زیادی از مواد ویسکوکشسان، که دارای تابع تغییرات متنوعی در زمان هستند، نیز قابل حل است.

مجموعه‌ی از معادلات دیفرانسیل معمولی بر حسب مجموعه‌ی از متغیرهای کرنش داخلی نوشت. [۷] در سال ۱۹۹۷، [۸] نیز روش مذکور برای حل مسائل تیرهای ویسکوکشسان غیرخطی تحت تأثیر تغییرشکل‌های برشی و جانبی به کار برده شد.

۲. استخراج روابط

علی‌رغم آن‌که مدل‌های بیان شده بر اساس تئوری تغییرشکل برشی مرتبه‌ی اول، تغییرات جابه‌جایی‌های ورق را در راستای محورهای x و y یعنی u و v ، به صورت خطی در ضخامت مقطع تخمین می‌زنند، معمولاً حل دقیق کشسانی آن‌ها نشان‌دهنده‌ی تغییرات درجه سه از z یا حتی در برخی موارد تغییرات مرتبه‌ی بالاتر است. بر همین اساس می‌توان میدان جابه‌جایی را برای ورق به صورت روابط ۱ و ۲ در نظر گرفت:

$$u = u_0 + z \left[\psi_x - \frac{4}{3} \frac{z^2}{h^2} \left(\psi_x + \frac{\partial w}{\partial x} \right) \right] \quad (1)$$

$$v = v_0 + z \left[\psi_y - \frac{4}{3} \frac{z^2}{h^2} \left(\psi_y + \frac{\partial w}{\partial y} \right) \right] \quad (2)$$

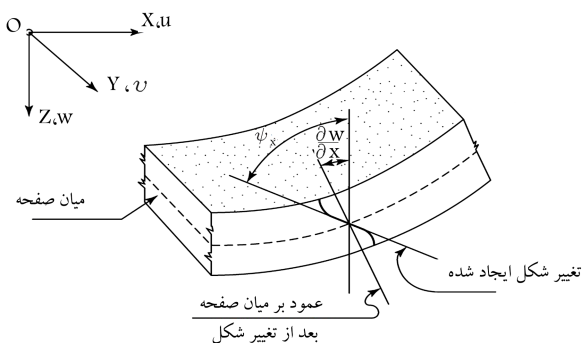
که در آن‌ها، ψ_x و ψ_y بیان‌کننده‌ی چرخش‌های میان صفحه‌ی ورق به ترتیب حول محورهای y و x هستند. روابط مذکور، سطوح آزاد برشی را در بالا و پایین سطح ورق برآورده می‌کنند و تغییرات درجه دو را برای تنش‌های برشی در ضخامت ورق به دست می‌دهند. بنابراین می‌توان تغییرشکل مقطع ورق را با توجه به اعوجاج ایجاد شده مطابق شکل ۱ نشان داد.

همچنین جهت حل عددی ورق ضخیم بر اساس شکل ۲، یک نوار محدود با درجه‌های آزادی نشان داده شده مد نظر قرار می‌گیرد.

از آنجایی که درجه‌های آزادی انتخاب شده برای ورق ضخیم در هر لبه مستقل از هم هستند، نیازی به منظور کردن توابع شکل مرتبه‌ی بالا جهت درون‌یابی آن‌ها نیست. از این رو و برای سادگی بیشتر، هر سه درجه آزادی انتخاب شده در لبه‌های المان فقط توسط توابع شکل خطی درون‌یابی می‌شوند. به این ترتیب توابع جابه‌جایی جانبی میان صفحه و چرخش‌های لبه‌های المان را در روش نوار محدود می‌توان به صورت روابط ۳ الی ۷ نوشت:

$$u_0 = \sum_{m=1}^r f^u u_{0m} Y_{1m} \quad (3)$$

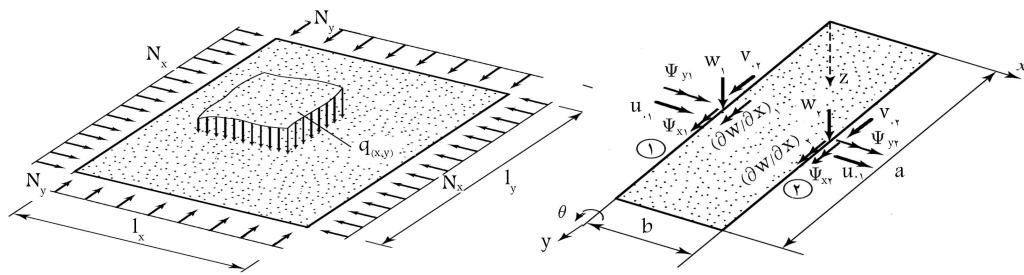
$$v_0 = \sum_{m=1}^r f^v v_{0m} Y_{2m} \quad (4)$$



شکل ۱. نحوه‌ی تغییر شکل ورق نسبتاً ضخیم با فرضیات تئوری برشی مرتبه‌ی سه [۲۱].

همچنین در سال ۲۰۰۹، روش اجزاء محدود شبه استاتیکی برای آنالیز تیرهای اولر - برنولی و تیموشنکو ارائه شد، که در آن خواص ویسکوکشسان خطی در نظر گرفتن اثر تغییرشکل‌های غیرخطی هندسی در نظر گرفته شده است. [۷] در سال ۱۹۹۸، [۹] نیز به تحلیل ورق‌ها و پوسته‌های کامپوزیت به روش اجزاء محدود پرداخته شد و پاسخ غیرخطی ویسکوکشسان کامپوزیت‌های لایه‌ی به کمک المان‌های ۸ گره‌ی پوسته مدل و مدل خزشی مکمل در مدل ویسکوکشسان به صورت یک سری تابع نمایی به اضافه‌ی یک مقدار جریان پایدار فرض شد. همچنین در سال ۲۰۰۴، [۱۰] رفتار دینامیکی ورق‌های ویسکوکشسان غیرخطی بررسی و به کمک فرضیات تیموشنکو برای ورق و جمع آثار بولتزمان برای ماده‌ی ویسکوکشسان خطی، روابط غیرخطی برای ارزیابی رفتار دینامیکی ورق ضخیم تیموشنکو استخراج شد. برخی پژوهشگران نیز در سال ۲۰۰۸، [۱۱] ارتعاش آزاد ورق‌های ویسکوکشسان متحرک محوری را بررسی کردند و از روش نوار محدود ماتریس‌های سختی را در حوزه‌ی بسامد استخراج کردند، که شامل توابع ضمنی مقادیر ویژه‌ی ارتعاش آزاد نیروهای داخل صفحه، پارامترهای ویسکوکشسانی، سرعت محوری و هندسه‌ی ورق می‌شد. بدین ترتیب اثر سرعت محوری و پارامترهای ویسکوکشسان را در ارتعاش آزاد ورق متحرک محوری ارزیابی کردند. آنالیز ترمومکانیک دینامیکی کمانش و پس از کمانش ورق‌های لایه‌ی کامپوزیت ویسکوکشسان و همچنین آنالیزهای حساسیت بر روی اثر پارامترهای آسودگی، نرخ بارگذاری، گرمادهی سریع و تنش اولیه در مطالعه‌ی در سال ۲۰۱۱، [۱۲] انجام شد. کمانش موضعی ورق‌های نازک و همچنین ورق‌های نسبتاً ضخیم مستطیلی ویسکوکشسان نیز در سال‌های ۲۰۱۱ و ۲۰۱۲ بررسی شد، [۱۳] و در روش مذکور ماتریس‌های سختی و پایداری در حوزه‌ی زمان ارزیابی و به کمک حل یک مسئله، مقادیر ویژه‌ی بار بحرانی محاسبه شده است. همچنین در سال‌های ۲۰۱۴ و ۲۰۱۵، در آنالیز استاتیکی و پایداری ورق‌های ویسکوکشسان نازک و نسبتاً ضخیم از روش سری پرونی برای مدل‌سازی خاصیت ویسکوکشسانی و نیز از روش نوار محدود جهت آنالیز ورق استفاده شد و ورق‌های نازک به کمک تئوری کلاسیک و روش‌های نوار محدود معمولی و جابجایی و نیز ورق نسبتاً ضخیم بر اساس تئوری برشی مرتبه‌ی اول و روش نوار محدود معمولی تحلیل شدند. [۱۷-۱۵] همچنین در سال‌های اخیر تحقیقاتی بر روی رفتار مکانیکی ورق‌های ویسکوکشسان به روش‌های مختلف عمودی انجام شده است. [۱۸-۲۰]

در نوشتار حاضر، ابتدا خاصیت ویسکوکشسانی مواد معرفی و سپس روابط تنش - کرنش حاکم بر رفتار آن‌ها برای استفاده در مسئله‌ی ورق استخراج شده است. در پایان، روش نوار محدود برای حل مسائل ویسکوکشسان توسعه داده شده است، که به کمک آن بتوان هم محدوده‌ی وسیع‌تری از مسائل را پوشش داد و هم از طریق سرعت بالای حل روش نوار محدود، تعداد حالات متنوعی از ورق‌های ویسکوکشسان را بررسی کرد. بررسی تاریخچه‌ی مطالعات انجام‌شده‌ی پیشین، نشان‌دهنده‌ی این موضوع است که تغییر خواص مواد در طول زمان بارگذاری سازه‌ها، همواره مشکلاتی را برای روش‌های عددی ایجاد کرده است، به گونه‌ی که در بسیاری از موارد، پژوهشگران از روش‌هایی مثل تبدیل لاپلاس برای از بین بردن وابستگی روش حل به زمان بهره برده‌اند. به همین دلیل در پژوهش حاضر سعی شده است تا از یک سو، حتی‌الامکان به کمک روش جداسازی زمانی، پیچیدگی انتگرال‌های موجود در زمان ساده‌سازی شود و از سوی دیگر، مسئله بدون وابستگی به روش‌های تبدیل، مستقیماً در حوزه‌ی



شکل ۲. یک نوار محدود برای ورق ضخیم.

همچنین در روابط ۳ الی ۷، Y_{1m} تا Y_{5m} توابع شکل درون‌یابی تغییرشکل‌ها در جهت طولی هستند. این توابع را باید بر اساس ارضاء شرایط مرزی لبه‌های عرضی ورق انتخاب کرد، که به صورت روابط ۱۵ و ۱۶ بیان می‌شود:

$$Y_{1m} = Y_{2m} = Y_{3m} = \sin \frac{m\pi y}{a} \quad (15)$$

$$Y_{4m} = Y_{5m} = \cos \frac{m\pi y}{a} \quad (16)$$

شایان ذکر است که علت تفاوت توابع فوق منظور کردن اثر تعامد آن‌هاست، که به وسیله‌ی توابع سینوس و کسینوس که اختلاف فاز 90° درجه‌ی دارند، ایجاد شده است. در پژوهش حاضر، بردار کرنش‌های در نظر گرفته شده برای استفاده در روابط ورق ضخیم بر اساس تئوری تغییرشکل‌های کوچک و با صرف نظر کردن از کرنش‌های مرتبه‌ی بالاتر گرین به کمک رابطه ۱۷ بیان می‌شود:

$$\varepsilon = \begin{cases} \varepsilon_x = \frac{\partial u}{\partial x} \\ \varepsilon_y = \frac{\partial v}{\partial y} \\ \gamma_{xy} = \frac{\partial u}{\partial y} + \frac{\partial v}{\partial x} \\ \gamma_{xz} = \frac{\partial w}{\partial x} + \frac{\partial u}{\partial z} \\ \gamma_{yz} = \frac{\partial w}{\partial y} + \frac{\partial v}{\partial z} \end{cases} \quad (17)$$

به این ترتیب کرنش‌های ایجاد شده بر اساس تئوری برشی مرتبه‌ی سوم از ترکیب روابط ۱۷، ۱ و ۲ به صورت رابطه‌ی ۱۸ نوشته می‌شود، که در آن h ضخامت ورق است.

$$\varepsilon = \begin{cases} \varepsilon_x = \frac{\partial u}{\partial x} + z \left(\frac{\partial \psi_x}{\partial x} - \frac{z}{r h^2} \left(\frac{\partial \psi_x}{\partial x} + \frac{\partial^2 w}{\partial x^2} \right) \right) \\ \varepsilon_y = \frac{\partial v}{\partial y} + z \left(\frac{\partial \psi_y}{\partial y} - \frac{z}{r h^2} \left(\frac{\partial \psi_y}{\partial y} + \frac{\partial^2 w}{\partial y^2} \right) \right) \\ \gamma_{xy} = \frac{\partial u}{\partial y} + \frac{\partial v}{\partial x} + z \left(\left(\frac{\partial \psi_x}{\partial y} + \frac{\partial \psi_y}{\partial x} \right) - \frac{z}{r h^2} \left(\frac{\partial \psi_x}{\partial y} + \frac{\partial \psi_y}{\partial x} + 2 \frac{\partial^2 w}{\partial x \partial y} \right) \right) \\ \gamma_{xz} = \left(\frac{\partial w}{\partial x} + \psi_x \right) - \frac{z}{r h^2} \left(\frac{\partial w}{\partial x} + \psi_x \right) \\ \gamma_{yz} = \left(\frac{\partial w}{\partial y} + \psi_y \right) - \frac{z}{r h^2} \left(\frac{\partial w}{\partial y} + \psi_y \right) \end{cases} \quad (18)$$

برای حل مسئله به روش عددی، نیاز به گسسته‌سازی توابع تغییرشکل است، که با جای‌گذاری روابط ۳ الی ۷ در رابطه‌ی ۱۸ انجام می‌گیرد. بدین ترتیب بردار کرنش به صورت رابطه‌ی ۱۹ بازنویسی می‌شود:

$$\varepsilon = \sum_{m=1}^r B_m \Delta_m = B \Delta \quad (19)$$

$$w = \sum_{m=1}^r f^w w_m Y_{\tau m} \quad (5)$$

$$\psi_x = \sum_{m=1}^r f^{\psi_x} \psi_{x,m} Y_{\tau m} \quad (6)$$

$$\psi_y = \sum_{m=1}^r f^{\psi_y} \psi_{y,m} Y_{\delta m} \quad (7)$$

که در آن‌ها، r تعداد مودهای در نظر گرفته شده از توابع مثلثاتی جهت طولی هستند، که از شماره‌ی m برای آن استفاده شده است. همچنین w_m ، v_m ، u_m و $\psi_{x,m}$ ، $\psi_{y,m}$ به ترتیب بردارهای درجه‌های آزادی داخل صفحه در راستای x و y ، درجه‌های آزادی خارج صفحه، چرخش لبه‌ی حول محور x و y برای المان مورد نظر در مود m هستند، که هر یک به کمک بردارهای ۸ الی ۱۲ نشان داده می‌شوند:

$$u_m = \langle u_{\tau 1,m} \quad u_{\tau 2,m} \rangle^T \quad (8)$$

$$v_m = \langle v_{\delta 1,m} \quad v_{\delta 2,m} \rangle^T \quad (9)$$

$$w_m = \langle w_{\tau 1,m} \quad (\partial w / \partial x)_{\tau 1,m} \quad w_{\tau 2,m} \quad (\partial w / \partial x)_{\tau 2,m} \rangle^T \quad (10)$$

$$\psi_{x,m} = \langle \psi_{x \tau 1,m} \quad \psi_{x \tau 2,m} \rangle^T \quad (11)$$

$$\psi_{y,m} = \langle \psi_{y \delta 1,m} \quad \psi_{y \delta 2,m} \rangle^T \quad (12)$$

که در آن‌ها، $u_{\tau 1,m}$ و $u_{\tau 2,m}$ جابه‌جایی گره‌ها در راستای محور x ، $v_{\delta 1,m}$ و $v_{\delta 2,m}$ جابه‌جایی گره‌ها در راستای محور y ، $w_{\tau 1,m}$ و $w_{\tau 2,m}$ جابه‌جایی گره‌ها در راستای محور z ، $\psi_{x \tau 1,m}$ و $\psi_{x \tau 2,m}$ چرخش لبه‌های المان حول محور x و $\psi_{y \delta 1,m}$ و $\psi_{y \delta 2,m}$ چرخش لبه‌های المان حول محور y هستند. در واقع روابط مذکور به تعداد r و برای مقادیر مختلف $r \sim 1 \sim m$ نوشته می‌شود. در روابط ۳ الی ۷، بردارهای f^u ، f^v ، f^w ، f^{ψ_x} ، f^{ψ_y} توابع درون‌یابی در جهت عرضی هستند و همان‌گونه که پیش‌تر نیز اشاره شد، برای سادگی از توابع خطی و هرمیتی برای بیان آن‌ها استفاده می‌شود (رابطه‌ی ۱۳):

$$f^u = f^v = f^{\psi_x} = f^{\psi_y} = \langle N_1 \quad N_2 \rangle = \langle 1 - \xi \quad \xi \rangle$$

$$f^w = \langle H_{11} \quad H_{12} \quad H_{21} \quad H_{22} \rangle$$

$$= \langle 1 - 3\xi^2 + 2\xi^3 \quad b(\xi - 2\xi^2 + \xi^3) \quad 3\xi^2 - 2\xi^3 \quad b(-\xi^2 + \xi^3) \rangle \quad (13)$$

که در آن، ξ پارامتر بدون بعدی است که از رابطه‌ی ۱۴ به دست می‌آید و در آن b عرض نوار است:

$$\xi = \frac{x}{b} \quad (14)$$

$$B_{\tau m}^i = -\frac{4}{h^2} \times \begin{bmatrix} 0 & 0 & 0 & 0 & 0 & 0 \\ 0 & 0 & 0 & 0 & 0 & 0 \\ 0 & 0 & 0 & 0 & 0 & 0 \\ 0 & 0 & H_{i1}^i Y_{\tau m} & H_{i2}^i Y_{\tau m} & N_i Y_{\tau m} & 0 \\ 0 & 0 & H_{i1}^i Y_{\tau m}' & H_{i2}^i Y_{\tau m}' & 0 & N_i Y_{\delta m} \end{bmatrix}$$

$i = 1, 2$ (۲۸)

که در آن‌ها، علامت پریم (') نشان‌گر مشتق تابع موردنظر نسبت به مختصه x و $Y_{\delta m}$ یا Y_{1m} است (برای توابع N و H مشتق نسبت به محور x و برای توابع Y_{1m} تا $Y_{\delta m}$ مشتق نسبت به محور y).

گام بعدی تعیین رابطه‌ی تنش و کرنش برای ماده‌ی موردنظر است. به همین منظور رابطه‌ی تنش و کرنش با فرض ثابت ماندن نسبت پیوسته برای یک ماده‌ی ایزوتروپیک ویسکوکشسان خطی به صورت رابطه‌ی ۲۹ بیان می‌شود:

$$\sigma(x, y, z, t) = Q(t = 0) \varepsilon(x, y, z, t) + \int_0^t \dot{Q}(t-s) \varepsilon(x, y, z, s) ds$$

(۲۹)

که پارامترهای آن از روابط ۳۰ الی ۳۲ به دست می‌آیند:

$$\sigma(x, y, z, t) = \langle \sigma_x \quad \sigma_y \quad \tau_{xy} \quad \tau_{xz} \quad \tau_{yz} \rangle^T$$

(۳۰)

$$\varepsilon(x, y, z, t) = \langle \varepsilon_x \quad \varepsilon_y \quad \gamma_{xy} \quad \gamma_{xz} \quad \gamma_{yz} \rangle^T$$

(۳۱)

$$Q(t) = \frac{E(t)}{1-\nu^2} \begin{bmatrix} 1 & \nu & 0 & 0 & 0 \\ \nu & 1 & 0 & 0 & 0 \\ 0 & 0 & \frac{1-\nu}{2} & 0 & 0 \\ 0 & 0 & 0 & \frac{1-\nu}{2} & 0 \\ 0 & 0 & 0 & 0 & \frac{1-\nu}{2} \end{bmatrix}$$

(۳۲)

در گام بعدی، رابطه‌ی کار مجازی برای ورق ضخیم مطابق رابطه‌ی ۳۳ نوشته می‌شود:

$$\delta W_{int} = \delta W_{ext}$$

(۳۳)

که در آن، تغییرات کار نیروهای داخلی در ورق را نشان می‌دهد، که می‌توان آن را به کمک رابطه‌ی ۲۹ به صورت رابطه‌ی ۳۴ نوشت:

$$\begin{aligned} \delta W_{int} &= \delta \int_V \sigma^T \varepsilon dV \\ &= \int_V \delta \varepsilon^T(t) Q(\circ) \varepsilon(t) dV \\ &+ \int_0^t \left(\int_V \delta \varepsilon^T(s) Q(t-s) \varepsilon(t) dV \right) ds \\ &= \delta \Delta^T \left(\int_V B^T Q(\circ) B dV \right) \Delta(t) + \\ &\delta \Delta^T \int_0^t \left(\int_V B^T \dot{Q}(t-s) B dV \right) \Delta(s) ds \end{aligned}$$

(۳۴)

همچنین در رابطه‌ی ۳۳، بیان‌گر کار ناشی از نیروهای خارجی است، که از رابطه‌ی ۳۵ به دست می‌آید:

$$W_{ext} = \int_A w q dA$$

(۳۵)

که در آن، Δ_m بردار ۱۲ درجه آزادی شامل جابه‌جایی و چرخش‌های لپه‌یی المان در مود m ام است، که از رابطه‌ی ۲۰ به دست می‌آید:

$$\Delta_m = \langle u_{0,1,m} \quad v_{0,1,m} \quad w_{1,m} \quad (\partial w / \partial x)_{1,m} \quad \psi_{x1,m} \quad \psi_{y1,m} \quad u_{0,2,m} \quad v_{0,2,m} \quad w_{2,m} \quad (\partial w / \partial x)_{2,m} \quad \psi_{x2,m} \quad \psi_{y2,m} \rangle^T$$

(۲۰)

همچنین بردار Δ بردار کل درجه‌های آزادی $1 \times 12r$ برای هر نوار است، که از زیر هم قرار گرفتن بردارهای Δ_m به دست می‌آید (رابطه‌ی ۲۱):

$$\Delta = \begin{Bmatrix} \Delta_{m=1} \\ \Delta_{m=2} \\ \vdots \\ \Delta_{m=r} \end{Bmatrix}$$

(۲۱)

همچنین B_m یک ماتریس 5×12 و B یک ماتریس $5 \times 12r$ هستند، که به کمک روابط ۲۲ و ۲۳ بیان می‌شوند:

$$B_m = B_{1m} z + B_{2m} z^2 + B_{3m} + B_{4m} z^3$$

(۲۲)

$$B = [B_{m=1} \quad B_{m=2} \quad \dots \quad B_{m=r}]$$

(۲۳)

که در آن‌ها، $B_{1m}, B_{2m}, B_{3m}, B_{4m}$ از رابطه‌هایی ۲۴ الی ۲۸ به دست می‌آیند:

$$B_{1m} = [B_{1m}^1 \quad B_{1m}^2]; \quad B_{2m} = [B_{2m}^1 \quad B_{2m}^2]$$

$$B_{3m} = [B_{3m}^1 \quad B_{3m}^2]; \quad B_{4m} = [B_{4m}^1 \quad B_{4m}^2]$$

(۲۴)

$$B_{1m}^i = \begin{bmatrix} 0 & 0 & 0 & 0 & N_i^i Y_{\tau m} & 0 \\ 0 & 0 & 0 & 0 & 0 & N_i Y_{\delta m}' \\ 0 & 0 & 0 & 0 & N_i Y_{\tau m}' & N_i^i Y_{\delta m} \\ 0 & 0 & 0 & 0 & 0 & 0 \\ 0 & 0 & 0 & 0 & 0 & 0 \end{bmatrix}; \quad i = 1, 2$$

(۲۵)

$$B_{2m}^i = -\frac{4}{3h^2} \times \begin{bmatrix} 0 & 0 & H_{i1}^i Y_{\tau m} & H_{i2}^i Y_{\tau m} & N_i^i Y_{\tau m} & 0 \\ 0 & 0 & H_{i1}^i Y_{\tau m}'' & H_{i2}^i Y_{\tau m}'' & 0 & N_i Y_{\delta m}' \\ 0 & 0 & 2H_{i1}^i Y_{\tau m}' & 2H_{i2}^i Y_{\tau m}' & N_i Y_{\tau m}' & N_i^i Y_{\delta m} \\ 0 & 0 & 0 & 0 & 0 & 0 \\ 0 & 0 & 0 & 0 & 0 & 0 \end{bmatrix}$$

$i = 1, 2$ (۲۶)

$$B_{3m}^i = \begin{bmatrix} N_i^i Y_{1m} & 0 & 0 & 0 & 0 & 0 \\ 0 & N_i Y_{1m}' & 0 & 0 & 0 & 0 \\ N_i Y_{1m}' & N_i^i Y_{2m} & 0 & 0 & 0 & 0 \\ 0 & 0 & H_{i1}^i Y_{\tau m} & H_{i2}^i Y_{\tau m} & N_i Y_{\tau m} & 0 \\ 0 & 0 & H_{i1}^i Y_{\tau m}' & H_{i2}^i Y_{\tau m}' & 0 & N_i Y_{\delta m} \end{bmatrix}$$

$i = 1, 2$ (۲۷)

جهت انجام جداسازی، ابتدا انتگرال موجود در رابطه ۴۰ در بازه زمانی مورد نظر به صورت مجموع انتگرال‌های مذکور روی بازه‌های زمانی کوچک‌تر نوشته خواهد شد، و در هر بازه زمانی کوچک، مقدار جابه‌جایی $\Delta(t_k)$ ثابت فرض می‌شود (رابطه ۴۶):

$$\int_0^t \tilde{\mathbf{K}}(t-s)\Delta(s)ds = \sum_{k=0}^{n-1} \int_{t_k}^{t_{k+1}} \tilde{\mathbf{K}}(t_n-s)\Delta(s)ds \quad (46)$$

$$\cong \sum_{k=0}^{n-1} \Delta(t_k) \int_{t_k}^{t_{k+1}} \tilde{\mathbf{K}}(t_n-s)ds$$

بر این اساس، رابطه‌ی نوار محدود ویسکوکشسان (۴۰) در هر گام زمانی به صورت رابطه ۴۷ نوشته می‌شود و در هر گام زمانی به کمک آن مقدار $\Delta(t_n)$ محاسبه خواهد شد:

$$\Delta(t_n) = (\mathbf{K}(\circ))^{-1} (\mathbf{F} - \sum_{k=0}^{n-1} \Delta(t_k) \int_{t_k}^{t_{k+1}} \tilde{\mathbf{K}}(t_n-s)ds) \quad (47)$$

برای استفاده از رابطه ۴۷ لازم است تا بر طبق یک مدل مناسب و منطبق بر رفتار ماده، تابع تغییرات مدول آسودگی در طول زمان حدس زده شود. در پژوهش حاضر، تغییرات مدول آسودگی براساس سری پرونی به صورت رابطه ۴۸ در نظر گرفته شده است:^[۲۲]

$$E(t) = E_\circ + \sum_{l=1}^{Nmat} E_l e^{-\frac{t}{\tau_l^E}} \quad (48)$$

که در آن، E_l و τ_l^E ثوابت سری پرونی هستند، که برای هر ماده به کمک آزمایش به دست می‌آیند و همچنین $Nmat$ مرتبه‌ی سری پرونی است. این تذکر لازم است که برای انواع مواد ویسکوکشسان موجود، روابط متنوعی جهت توصیف تغییرات خاصیت ماده توسط پژوهشگران و مهندسان استفاده شده است، ولی مدل سری پرونی یکی از پرکاربردترین آن‌هاست، که مدل رفتاری آن بر خواص بسیاری از کامپوزیت‌ها انطباق دارد.^[۲۲] به طوری که می‌توان با بالا بردن مرتبه‌ی سری، مدل‌های دقیق‌تری نیز به دست آورد. بنابراین برای بالا رفتن دقت محاسبات و انطباق بیشتر رفتار ماده‌ی مورد بررسی با رفتار سایر مواد می‌توان مرتبه‌ی سری پرونی را افزایش داد. بدین ترتیب با در نظر گرفتن رابطه ۴۸، توابع $\mathbf{E}(\circ)$ و $\dot{\mathbf{E}}(t_n-s)$ که در تعریف توابع $\mathbf{Q}(\circ)$ و $\dot{\mathbf{Q}}(t_n-s)$ (رابطه ۳۴) در رابطه ۴۰ ظاهر می‌شوند، را می‌توان مطابق روابط ۴۹ و ۵۰ بیان کرد:

$$E(\circ) = E_\circ + \sum_{l=1}^{Nmat} E_l \quad (49)$$

$$\dot{E}(t_n-s) = \sum_{l=1}^{Nmat} \frac{-E_l}{\tau_l} \exp\left(-\frac{t_n-s}{\tau_l}\right) \quad (50)$$

برای ارزیابی مقدار $\Delta(t_n)$ از رابطه ۴۷، باید انتگرال زیر مطابق رابطه ۵۱ محاسبه شود:

$$\int_{t_k}^{t_{k+1}} \dot{E}(t_n-s)ds = \sum_{l=1}^{Nmat} E_l \exp\left(-\frac{t_n-t_k}{\tau_l}\right) \left(1 - \exp\left(-\frac{\Delta t_k}{\tau_l}\right)\right) \quad (51)$$

که در آن، q بارگسترده‌ی وارد بر سطح ورق است (شکل ۲). بر این اساس تغییرات کار خارجی به کمک رابطه ۳۶ بیان می‌شود:

$$\delta W_{ext} = \int_A \delta w q dA \quad (36)$$

تابع w در رابطه ۳۶ را می‌توان مطابق رابطه ۳۷ بر حسب درجه‌های آزادی نوشت:

$$w = \sum_{m=1}^r \mathbf{H}_m \Delta_m = \mathbf{H} \Delta; \quad \mathbf{H}_m = \begin{bmatrix} \mathbf{H}_m^1 & \mathbf{H}_m^2 \end{bmatrix} \quad (37)$$

که در آن، \mathbf{H} یک ماتریس $1 \times 12r$ است و ماتریس‌های \mathbf{H}_m^1 و \mathbf{H}_m^2 هر کدام یک ماتریس 1×6 هستند و برای مقادیر $i = 1, 2$ به صورت رابطه ۳۸ نوشته می‌شود:

$$\mathbf{H}_m^i = \begin{bmatrix} 0 & 0 & H_{i1} Y_{rm} & H_{i2} Y_{rm} & 0 & 0 \end{bmatrix} \quad i = 1, 2 \quad (38)$$

بدین ترتیب تغییرات کار خارجی در رابطه ۳۶ به صورت رابطه ۳۹ بازنویسی می‌شود:

$$\delta W_{ext} = \delta \Delta^T \int_A \mathbf{H}^T q dA \quad (39)$$

در نهایت، رابطه‌ی کار مجازی ۳۳ به کمک رابطه‌های ۳۴ و ۳۹ به صورت رابطه ۴۰ بازنویسی می‌شود:

$$\mathbf{K}(\circ) \Delta(t) + \int_0^t \tilde{\mathbf{K}}(t-s)\Delta(s)ds = \mathbf{F} \quad (40)$$

که در آن، $\mathbf{k}(t-s)$ ، \mathbf{F} به ترتیب ماتریس‌های سختی ثابت، سختی وابسته به زمان، و بردار نیرویی هستند، که با فرض عدم تغییرات مشخصات مصالح در راستای ضخامت آن به کمک روابط ۴۱ الی ۴۳ بیان می‌شوند:

$$\mathbf{K}(\circ) = \int_A \{ \mathbf{B}_\tau^T \mathbf{D}_\nu(\circ) \mathbf{B}_\tau + \mathbf{B}_\nu^T \mathbf{D}_\tau(\circ) \mathbf{B}_\nu + \mathbf{B}_\tau^T \mathbf{D}_\tau(\circ) \mathbf{B}_\tau + \mathbf{B}_\nu^T \mathbf{D}_\nu(\circ) \mathbf{B}_\tau + \mathbf{B}_\tau^T \mathbf{D}_\tau(\circ) \mathbf{B}_\nu + \mathbf{B}_\nu^T \mathbf{D}_\nu(\circ) \mathbf{B}_\tau \} dA \quad (41)$$

$$\dot{\mathbf{k}}(t) = \int_A \{ \mathbf{B}_\tau^T \dot{\mathbf{D}}_\nu(t) \mathbf{B}_\tau + \mathbf{B}_\nu^T \dot{\mathbf{D}}_\tau(t) \mathbf{B}_\nu + \mathbf{B}_\tau^T \dot{\mathbf{D}}_\tau(t) \mathbf{B}_\tau + \mathbf{B}_\nu^T \dot{\mathbf{D}}_\nu(t) \mathbf{B}_\tau + \mathbf{B}_\tau^T \dot{\mathbf{D}}_\tau(t) \mathbf{B}_\nu + \mathbf{B}_\nu^T \dot{\mathbf{D}}_\nu(t) \mathbf{B}_\tau \} dA \quad (42)$$

$$\mathbf{F} = \int_A \mathbf{H}^T q dA \quad (43)$$

در رابطه‌های ۴۱ و ۴۲، ماتریس‌های $\mathbf{D}_j(\circ)$ و $\dot{\mathbf{D}}_j(t)$ برای مقادیر $j = 1 \sim 4$ از رابطه‌های ۴۴ و ۴۵ به دست می‌آیند:

$$\{ \mathbf{D}_\nu(\circ), \mathbf{D}_\tau(\circ), \mathbf{D}_\tau(\circ), \mathbf{D}_\tau(\circ) \} = \left\{ \frac{h}{1}, \frac{h^2}{12}, \frac{h^3}{8}, \frac{h^4}{448} \right\} \mathbf{Q}(\circ) \quad (44)$$

$$\{ \dot{\mathbf{D}}_\nu(t), \dot{\mathbf{D}}_\tau(t), \dot{\mathbf{D}}_\tau(t), \dot{\mathbf{D}}_\tau(t) \} = \left\{ \frac{h}{1}, \frac{h^2}{12}, \frac{h^3}{8}, \frac{h^4}{448} \right\} \dot{\mathbf{Q}}(t) \quad (45)$$

که در آن:

$$\Delta t_k = t_{k+1} - t_k \quad (52)$$

با استخراج روابط مورد نیاز حل ورق‌های ویسکوکشسان، یک برنامه‌ی رایانه‌ی جهت حل عددی نوشته شده و به کمک آن به حل مثال پرداخته شده است. در واقع، رابطه‌ی اصلی و حاکم بر انجام محاسبات در فصل حاضر، رابطه‌ی نوار محدود ویسکوکشسان (رابطه‌ی ۴۰) است، که به کمک رابطه‌ی کار مجازی استخراج شده است. پس از آن به کمک فرضیات روش جداسازی زمانی، انتگرال کانولوشن موجود در آن به صورت مناسب تقریب زده شده است، تا جهت حل عددی مسئله آماده شود.

۳. بررسی عددی نتایج

در ادامه‌ی پژوهش، به تحلیل عددی چند مثال بر اساس روش ارائه شده پرداخته شده است. بدین منظور ابتدا صورت مسئله کاملاً تعریف و پس از آن جواب‌های حاصل صحت‌سنجی شده‌اند. پس از آن کمیت‌های مختلفی بررسی و اثر آن‌ها در رفتار ورق ارزیابی شده است.

در بخش حاضر، ابتدا مشخصات مصالح و کمیت‌های ویسکوکشسان مورد نیاز معرفی و پس از آن به تحلیل استاتیکی ورق تحت بارگسترده پرداخته شده است. سپس اثر باربرداری بررسی و در ادامه، به تحلیل کمانش و بار بحرانی پرداخته شده است.

۱.۱. مشخصات ویسکوکشسان مصالح

در ابتدای کار لازم است تا مشخصات یک ماده‌ی ویسکوکشسان بر اساس ضرایب ثابت سری پرونی به کمک آزمایش تعیین شود. بدین منظور در پژوهش حاضر، از مشخصات یک ماده‌ی ویسکوکشسان به نام PMMA استفاده شده است. نتایج به دست آمده برای ضرایب به کار رفته در رابطه‌ی ۴۸ در جدول ۱ ارائه شده است. با توجه به واحدهای به کار رفته در محاسبه‌ی مقادیر جدول ۱، زمان‌ها بر حسب ثانیه در روابط استفاده می‌شوند. همچنین نتایج آزمایش‌های لای و بیکر،^[۲۲] برای ماده‌ی مذکور، مقدار ضریب پواسون را در طول زمان ثابت و برابر ۰/۴ گزارش کرده است. همان‌گونه که پیشتر نیز اشاره شد، رابطه‌ی ۲۹ با فرض ثابت ماندن نسبت پواسون

جدول ۱. ثابت‌های سری پرونی برای یک ماده‌ی ویسکوکشسان نمونه به نام PMMA^[۲۲]

$\tau_1^E (s)$	$E_1 (MPa)$	α
-	۱۴۱۹,۴۳۶۰	۰
$9/1955 \times 10^{-1}$	۲۹۷,۶۹۷۰	۱
$9/8120 \times 10^0$	۶۳,۶۳۲۴	۲
$9/5268 \times 10^1$	۱۵۸,۲۶۶۴	۳
$9/4318 \times 10^2$	۱۸۱,۰۸۸۷	۴
$9/2066 \times 10^3$	۲۳۸,۷۶۴۱	۵
$8/9974 \times 10^4$	۲۷۸,۰۱۱۱	۶
$8/6852 \times 10^5$	۳۲۷,۶۹۰۶	۷
$8/5143 \times 10^6$	۳۲۲,۷۴۹۱	۸
$7/7396 \times 10^7$	۴۰۴,۶۸۴۳	۹

در زمان نوشته شده است و در شرایطی که این ضریب نیز به زمان وابسته باشد و در طول زمان تغییر کند، باید علاوه بر آزمایش‌های کشش یک بُعدی، آزمایش‌های دو بُعدی نیز روی ماده‌ی موردنظر انجام گیرد.

۲.۳. آنالیز ورق‌های ویسکوکشسان تحت بارگذاری قائم

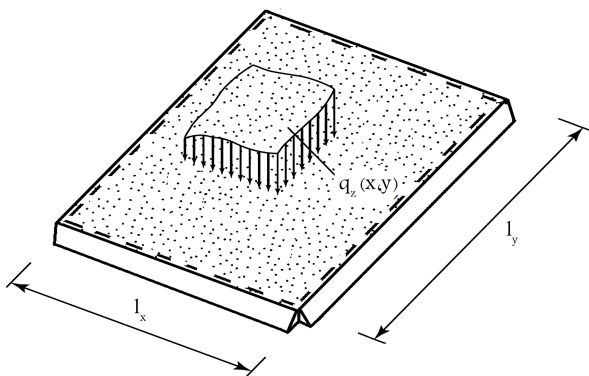
برای بررسی صحت روابط استخراج شده و همچنین نمایش قدرت روش نوار محدود در آنالیز ورق‌های ضخیم ویسکوکشسان، لازم است تا چند مثال از ورق‌های مذکور به روش ذکر شده تحلیل و بررسی شود. به همین منظور در بخش حاضر، به آنالیز ورق‌های مستطیلی ویسکوکشسان تحت بارگذاری قائم پرداخته شده است. در آنالیزهای ذکر شده، اثر شرایط مرزی در جهت طولی ورق (لبه‌های عرضی ورق) با انتخاب توابع شکل مناسب منظور شده است. همچنین اثر شرایط مرزی جهت عرضی ورق (لبه‌های طولی ورق) به کمک مقید کردن درجه‌های آزادی لبه‌های نوارهای کناری ورق ارضا می‌شود، که با توجه به درجه‌های آزادی جابه‌جایی و چرخشی مد نظر قرار گرفته در توابع هرمیتی، می‌توان شرایط مرزی مفصلی، گیردار، آزاد و گیردار هدایت شونده را بر اساس آن مدل کرد.

به عنوان اولین مثال، یک ورق ۴ طرف مفصل مطابق شکل ۳ مد نظر قرار گرفته است. همچنین درجه‌های آزادی جابه‌جایی برای دو نوارکناری در تمامی مودها برای منظور کردن اثر شرایط مرزی جهت عرضی مقید شده است. نظیر آنچه در اغلب مراجع مربوط به تحلیل ورق‌ها استفاده شده است، در حالت کلی می‌توان جابه‌جایی بیشینه‌ی یک ورق را بر اساس رابطه‌ی ۵۳ بیان کرد:

$$w_{mid} = \alpha \frac{12(1-\nu^2)q_z(l_x)^4}{E(t=0)h^3} \quad (53)$$

که در آن، w_{mid} جا به جایی بیشینه‌ی ورق است، که برای ورق‌های مستطیلی مورد بحث در بخش حاضر، تحت بارگسترده با شدت یکنواخت در وسط سطح ورق رخ می‌دهد. همچنین ν نسبت پواسون، q_z شدت بارگسترده‌ی یکنواخت، l_x عرض ورق، h ضخامت ورق، و $E(t=0)$ بیان‌کننده‌ی مقدار مدول آسودگی ماده در زمان اولیه یعنی $t = 0$ است. از طرف دیگر، α ضریب بدون بُعدی است که تغییر شکل ورق بر حسب آن ارائه می‌شود.

برای یک ورق نازک مربعی کشسان تحت بارگسترده با شدت یکنواخت مقدار ضریب α برابر $0/004063$ خواهد بود، که می‌توان از آن برای صحت‌سنجی محاسبات نوار محدود در زمان اولیه‌ی بارگذاری استفاده کرد.^[۲۳] مشخصات هندسی ورق مورد مطالعه مطابق جدول ۲ است.

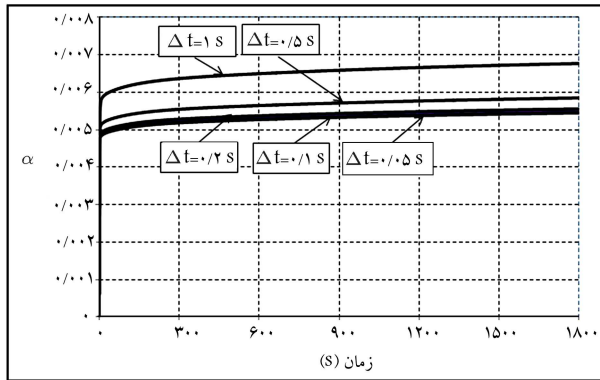


شکل ۳. یک ورق مستطیلی ۴ طرف مفصل تحت بارگسترده‌ی یکنواخت.

در جدول ۶ ارائه شده است. نتایج به دست آمده از جدول ۶ نشان می‌دهد که روش نوار محدود با دقت بسیار مناسبی می‌تواند تغییرشکل‌های ورق را ارزیابی کند. برای بررسی رفتار ویسکوکشسان ورق، مقادیر ضریب بدون بُعد α در زمان‌های گوناگون در شکل ۴ مشاهده می‌شود، که مطابق آن از ورقی با مشخصات جدول ۲ و همچنین بازه‌های زمانی مختلفی استفاده شده است. نتایج حاصل، هم‌گرایی نتایج را با انتخاب بازه‌های زمانی مختلف نشان می‌دهد.

از سوی دیگر، جهت نشان دادن میزان اختلاف موجود، پاسخ‌های به دست آمده از انتخاب بازه‌های زمانی مختلف با پاسخ‌های بازه‌ی زمانی $\Delta t = 0.5$ مقایسه شده‌اند، که نتایج آن در جدول ۷ ارائه شده است.

خطاهای به دست آمده در جدول ۷ نشان می‌دهد که با انتخاب بازه‌های زمانی کمتر از 0.1 ثانیه، خطای محاسبات حدود 0.5% خواهد بود. از طرف دیگر، انتخاب بازه‌های زمانی بزرگ، جابه‌جایی‌های ورق را بزرگ‌تر از پاسخ دقیق نتیجه می‌دهد و همواره پاسخ دقیق‌تر از پاسخ به دست آمده از حل روش جداسازی زمانی است. همچنین با افزایش زمان بارگذاری، خطای اندازه‌گیری تغییرشکل‌ها به میزان اندکی افزایش می‌یابد. در واقع هر چه عمر بارگذاری سازه افزایش یابد، حل



شکل ۴. تغییرات ضریب بدون بُعد در طول زمان برای ورقی با مشخصات ارائه شده در جدول ۲.

به این ترتیب برای یک ورق مربعی با مشخصات جدول ۱، جابه‌جایی‌های بیشینه‌ی ورق در طول زمان مطابق با جدول ۳ به دست آمده است. با توجه به مقادیر نشان داده شده در جدول مذکور می‌توان دریافت که اولاً با افزایش زمان بارگذاری، تغییرشکل‌های ورق افزایش می‌یابد، به گونه‌یی که در اولین لحظه‌ی بارگذاری، یک تغییر شکل اولیه ناشی از رفتار کشسان آن به وجود می‌آید. در واقع در لحظه‌ی شروع بارگذاری، هنوز رفتار ویسکوز ماده نمایان نشده و به همین دلیل می‌توان جابه‌جایی بیشینه‌ی ورق در لحظه‌ی اولیه را با مقادیر دقیق حل ورق، که از سایر روش‌های آنالیز ورق به دست آمده است، مقایسه کرد. به همین منظور برای صحت‌سنجی محاسبات، مقدار ضریب بدون بُعد α در رابطه‌ی ۵۳ به کمک جابه‌جایی‌های به دست آمده از روش نوار محدود ارزیابی و نتیجه‌ی آن با نتایج ارائه شده در مرجع [۲۳] مقایسه شده است، که نتایج آن در جدول ۴ مشاهده می‌شود. در جدول مذکور از ورقی با مشخصات ارائه شده در جدول ۲ و تعداد نوار و مود متفاوت استفاده شده است. این تذکر لازم است که در مرجع مذکور از سری فوریه برای حصول مقادیر تغییر شکل استفاده شده است. نتایج حاصل از جدول ۴، بیان‌گر هم‌گرایی مناسب روش نوار محدود در ارزیابی پاسخ‌های به دست آمده است. بر همین اساس ورق‌های مربعی با ضخامت‌های متفاوت بر اساس مشخصات جدول ۵ مد نظر قرار گرفته‌اند. مقادیر جابه‌جایی بیشینه‌ی ورق و ضریب بدون بُعد α بر اساس روش نوار محدود محاسبه و نتایج حاصل با نتایج حاصل از مرجع [۲۳] مقایسه شده است، که نتایج آن

جدول ۲. مشخصات هندسی ورق مورد مطالعه.

$l_y = 500 \text{ mm}$	طول ورق
$l_x = 500 \text{ mm}$	عرض ورق
$h = 50 \text{ mm}$	ضخامت ورق
$q_z = 9.81 \text{ kPa}$	شدت بارگسترده
$r = 3$	تعداد مود
1°	تعداد نوار
$\Delta t = 0.5 \sim 1 \text{ s}$	بازه‌ی زمانی

جدول ۳. جابه‌جایی بیشینه‌ی ورق مربعی با مشخصات ارائه شده در جدول ۲ برای بازه‌های زمانی مختلف بر حسب میلی‌متر.

زمان (s)	$\Delta t = 1 \text{ s}$	$\Delta t = 0.5 \text{ s}$	$\Delta t = 0.2 \text{ s}$	$\Delta t = 0.1 \text{ s}$	$\Delta t = 0.05 \text{ s}$
0	0.000584	0.000584	0.000584	0.000584	0.000584
5	0.000764	0.000683	0.000655	0.000648	0.000645
10	0.000782	0.000691	0.000661	0.000653	0.000650
50	0.000809	0.000710	0.000678	0.000669	0.000666
100	0.000824	0.000721	0.000688	0.000680	0.000676
200	0.000842	0.000735	0.000700	0.000692	0.000688
400	0.000859	0.000748	0.000712	0.000703	0.000699
600	0.000870	0.000756	0.000719	0.000710	0.000706
800	0.000878	0.000762	0.000725	0.000716	0.000711
1000	0.000885	0.000767	0.000730	0.000720	0.000716
1200	0.000892	0.000772	0.000734	0.000724	0.000720
1400	0.000892	0.000776	0.000738	0.000728	0.000724
1600	0.000902	0.000780	0.000741	0.000731	0.000727
1800	0.000906	0.000783	0.000744	0.000734	0.000730

جدول ۴. مقایسه‌ی جابه‌جایی بیشینه‌ی ورق مربعی با مشخصات ارائه شده در جدول ۲ با تعداد نوار و مود متفاوت و مقدار ضریب بدون بُعد α در رابطه‌ی ۵۳ در لحظه‌ی شروع بارگذاری با پاسخ‌های حاصل از مرجع [۲۳].

تعداد مود	تعداد نوار	روش نوار محدود		مقدار اختلاف (%) ^۱
		جابه‌جایی بیشینه (mm)	ضریب α	
۱	۱۰	۰٫۰۰۶۲۷۴۶۶	۰٫۰۰۰۴۳۲۵۸	۱٫۲۴۳
۱	۲۰	۰٫۰۰۶۲۸۰۷۵	۰٫۰۰۰۴۳۳۰۰	۱٫۳۴۱
۱	۵۰	۰٫۰۰۶۲۸۱۸۹	۰٫۰۰۰۴۳۳۰۸	۱٫۳۶۰
۱	۹۵	۰٫۰۰۶۲۸۲۷۱	۰٫۰۰۰۴۳۳۱۴	۱٫۳۷۴
۳	۱۰	۰٫۰۰۶۱۸۱۹۳	۰٫۰۰۰۴۲۶۱۹	۰٫۲۵۳
۳	۲۰	۰٫۰۰۶۱۸۸۰۴	۰٫۰۰۰۴۲۶۶۱	۰٫۱۵۴
۳	۵۰	۰٫۰۰۶۱۸۹۱۸	۰٫۰۰۰۴۲۶۶۹	۰٫۱۳۶
۳	۹۵	۰٫۰۰۶۱۹۰۰۰	۰٫۰۰۰۴۲۶۷۴	۰٫۱۲۴
۵	۱۰	۰٫۰۰۶۱۹۲۲۱	۰٫۰۰۰۴۲۶۹۰	۰٫۰۸۷
۵	۲۰	۰٫۰۰۶۱۹۸۳۲	۰٫۰۰۰۴۲۷۳۲	۰٫۰۱۲
۵	۵۰	۰٫۰۰۶۱۹۹۴۷	۰٫۰۰۰۴۲۷۴۰	۰٫۰۳۰
۵	۹۵	۰٫۰۰۶۲۰۰۲۸	۰٫۰۰۰۴۲۷۴۵	۰٫۰۴۲
۷	۱۰	۰٫۰۰۶۱۸۹۵۵	۰٫۰۰۰۴۲۶۷۱	۰٫۱۳۱
۷	۲۰	۰٫۰۰۶۱۹۵۶۶	۰٫۰۰۰۴۲۷۱۴	۰٫۰۳۰
۷	۵۰	۰٫۰۰۶۱۹۶۸۰	۰٫۰۰۰۴۲۷۲۱	۰٫۰۱۴
۷	۹۵	۰٫۰۰۶۱۹۷۶۲	۰٫۰۰۰۴۲۷۲۷	۰٫۰۰۰

مقدار ضریب بدون بُعد α بر اساس مرجع [۲۳] برابر با $۰٫۰۰۴۲۷۲۷$ به دست آمده است.

عددی و روش جداسازی زمانی به کار رفته در پژوهش حاضر، خطای محاسباتی بیشتری خواهد داشت، که علت این امر را می‌توان در وابستگی روش حل مذکور به نتایج حاصل از گام‌های زمانی قبل دانست. در واقع از آنجا که در هر گام زمانی، تغییر شکل‌های گام‌های زمانی قبلی نیز در محاسبات دخیل هستند، خطای محاسبات اندکی افزایش می‌یابد؛ هر چند این افزایش مقدار قابل ملاحظه‌ی نیست. برای بررسی اثر ضخامت صفحات بر مبنای تئوری برشی مرتبه‌ی بالاتر در رفتار ویسکوکشسان صفحات، جابه‌جایی بیشینه‌ی صفحاتی با ضخامت‌های متفاوت در طول زمان بررسی و نتایج آن در شکل ۵ نشان داده شده است. به منظور مشاهده‌ی

جدول ۵. مشخصات هندسی ورق مورد مطالعه جهت صحت‌سنجی نتایج.

$l_y = 50 \text{ mm}$	طول ورق
$l_x = 50 \text{ mm}$	عرض ورق
$h = 0.5 \sim 25 \text{ mm}$	ضخامت ورق
$q_z = 0.9816 \text{ kPa}$	شدت بارگسترده
$r = 7$	تعداد مود
۹۵	تعداد نوار

جدول ۶. مقایسه‌ی جابه‌جایی بیشینه‌ی ورق مربعی با مشخصات ارائه شده در جدول ۵ با ضخامت‌های مختلف و مقدار ضریب بدون بُعد α در رابطه‌ی ۵۳ در لحظه‌ی شروع بارگذاری با پاسخ‌های حاصل از مرجع [۲۳].

ضخامت (mm)	نسبت ضخامت به عرض ورق	ضریب α		مقدار اختلاف
		روش نوار محدود	مرجع [۲۳]	
۰٫۵	۰٫۰۰۱	۰٫۰۰۰۴۰۶۲۲	۰٫۰۰۰۴۰۶۲۴	۰٫۰۰۵
۵	۰٫۰۱	۰٫۰۰۰۴۰۶۴۷	۰٫۰۰۰۴۰۶۴۴	۰٫۰۰۷
۵۰	۰٫۱۰	۰٫۰۰۰۴۲۷۲۷	۰٫۰۰۰۴۲۷۲۷	۰٫۰۰۰
۷۵	۰٫۱۵	۰٫۰۰۰۴۵۳۵۱	۰٫۰۰۰۴۵۳۵۳	۰٫۰۰۴
۱۰۰	۰٫۲۰	۰٫۰۰۰۴۹۰۱۹	۰٫۰۰۰۴۹۰۲۵	۰٫۰۱۲
۱۲۵	۰٫۲۵	۰٫۰۰۰۵۳۷۲۷	۰٫۰۰۰۵۳۷۳۸	۰٫۰۲۰
۱۵۰	۰٫۳۰	۰٫۰۰۰۵۹۴۶۸	۰٫۰۰۰۵۹۴۸۴	۰٫۰۲۷
۱۷۵	۰٫۳۵	۰٫۰۰۰۶۶۲۳۶	۰٫۰۰۰۶۶۲۵۷	۰٫۰۳۲
۲۰۰	۰٫۴۰	۰٫۰۰۰۷۴۰۲۰	۰٫۰۰۰۷۴۰۴۷	۰٫۰۳۶
۲۲۵	۰٫۴۵	۰٫۰۰۰۸۲۸۱۰	۰٫۰۰۰۸۲۸۳۴	۰٫۰۴۰
۲۵۰	۰٫۵۰	۰٫۰۰۰۹۲۵۹۴	۰٫۰۰۰۹۲۶۳۲	۰٫۰۴۱

جدول ۷. خطای روش جداسازی زمانی با انتخاب بازه‌های زمانی مختلف (بر حسب درصد) برای ورقی با مشخصات ارائه شده در جدول ۲.

زمان (s)	$\Delta t = 1s$	$\Delta t = 0.5s$	$\Delta t = 0.2s$	$\Delta t = 0.1s$
0	0.00	0.00	0.00	0.00
5	18.45	5.89	1.55	0.47
10	20.31	6.31	1.69	0.46
50	21.47	6.61	1.81	0.45
100	21.89	6.66	1.76	0.59
200	22.38	6.83	1.74	0.58
400	22.89	7.01	1.86	0.57
600	23.07	7.03	1.83	0.56
800	23.49	7.17	1.97	0.70
1000	23.60	7.12	1.96	0.56
1200	23.89	7.22	1.94	0.56
1400	23.20	7.18	1.93	0.55
1600	24.07	7.29	1.93	0.55
1800	24.11	7.26	1.92	0.55

جدول ۸. مقادیر ضریب بدون بُعد α بر اساس تئوری‌های برشی متفاوت.

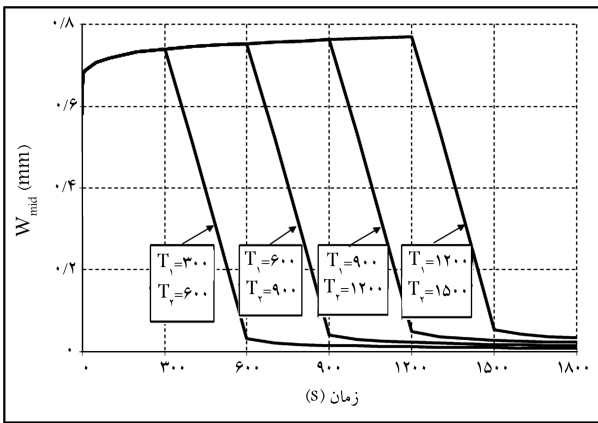
زمان (s)	$h = 50\text{ mm}$			$h = 100\text{ mm}$		
	HSDT (Presentstudy)	FSDT [۱۷]	CPT [۱۶]	HSDT (Presentstudy)	FSDT [۱۷]	CPT [۱۶]
0	0.004351	0.004236	0.004063	0.005123	0.005091	0.004063
5	0.005089	0.004955	0.004729	0.005992	0.005955	0.004729
10	0.005144	0.005008	0.004780	0.006057	0.006019	0.004780
50	0.005286	0.005146	0.004911	0.006223	0.006185	0.004911
100	0.005372	0.005230	0.004992	0.006325	0.006285	0.004992
200	0.005473	0.005328	0.005085	0.006444	0.006404	0.005085
400	0.005570	0.005422	0.005175	0.006558	0.006517	0.005175
600	0.005629	0.005480	0.005230	0.006627	0.006586	0.005230
800	0.005676	0.005526	0.005274	0.006683	0.006641	0.005274
1000	0.005716	0.005565	0.005311	0.006730	0.006680	0.005311
1200	0.005751	0.005599	0.005344	0.006771	0.006729	0.005344
1400	0.005781	0.005628	0.005372	0.006807	0.006765	0.005372
1600	0.005808	0.005654	0.005397	0.006838	0.006796	0.005397
1800	0.005832	0.005677	0.005419	0.006866	0.006824	0.005419

محاسبه و نتایج آن با نتایج حاصل از تئوری برشی مرتبه اول، [۱۶] و تئوری کلاسیک ورق، [۱۶] در زمان‌های مختلف مقایسه شده است، که نتایج آن در جدول ۸ ارائه شده است.

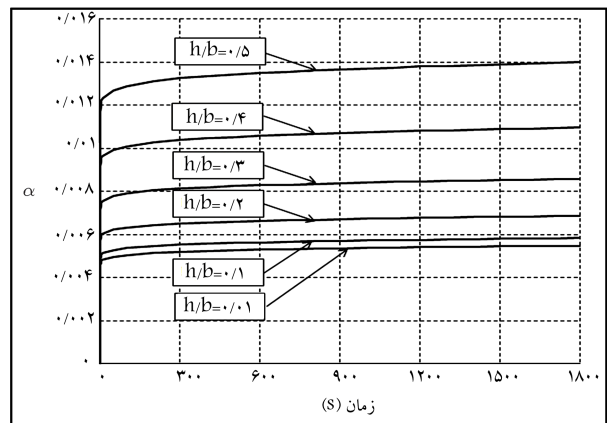
۳.۳. اثر باربرداری در ورق ضخیم ویسکوکشسان

یکی از مهم‌ترین تفاوت‌های مواد ویسکوکشسان با مواد کشسان، زمانی قابل مشاهده است که بارهای وارد بر سازه‌ی ساخته شده از هر یک از مواد کشسان کاهش یابد و یا به طور کلی حذف شود. در سازه‌های کشسان، رفتار ماده در هنگام باربرداری همانند بارگذاری رفتاری کاملاً خطی است و به همین دلیل با حذف بارهای وارده، تغییر شکل‌های سازه نیز به مرور و با همان نرخ کاهش بارگذاری حذف می‌شود، به

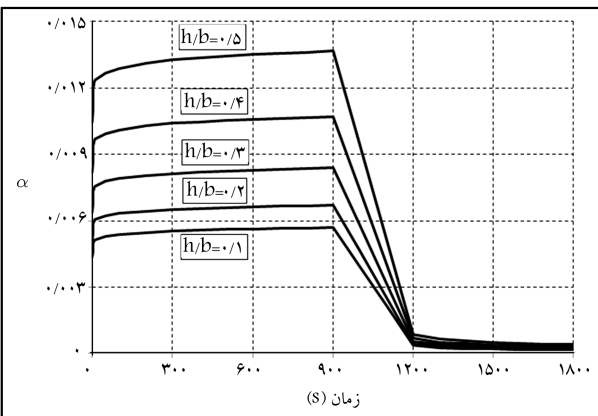
بهتر نتایج به جای جابه‌جایی بیشینه، مقدار ضریب بدون بُعد α در نمودار مذکور به نمایش در آمده است. برای محاسبه‌ی جابه‌جایی بیشینه از مشخصات ورقی مشابه ورق جدول ۵ با ۱۵ نوار استفاده شده است. نمودار شکل ۵، به خوبی بیان‌گر رفتار ویسکوکشسان ورق هاست. از سوی دیگر، با افزایش ضخامت ورق‌ها مقدار ضریب بدون بُعد α افزایش می‌یابد، که این موضوع در نتایج ارائه شده در جدول ۶ نیز به خوبی نمایان است. تغییر مذکور بر خلاف مقادیر جابه‌جایی بیشینه‌ی ورق است، که با افزایش ضخامت ورق، مقدار آن نیز کاهش می‌یابد. جهت مقایسه‌ی تئوری‌های برشی متفاوت و تأثیر آن‌ها در رفتار ویسکوکشسان ورق‌ها، مقادیر ضریب بدون بُعد α برای یک ورق مربعی با ابعاد نشان داده شده در جدول ۲ و بازه‌ی زمانی $\Delta t = 0.5s$ و ضخامت‌های ۵ و ۱۰ میلی‌متر توسط روش نوار محدود



شکل ۶. جابه‌جایی بیشینه‌ی ورق مربعی ویسکوکشسان تحت بارگذاری متغیر بر اساس رابطه‌ی ۵۴.



شکل ۵. تغییرات ضریب بدون بُعد α در طول زمان برای ورق‌های با ضخامت مختلف.



شکل ۷. جابه‌جایی بیشینه‌ی ورق مربعی ویسکوکشسان تحت بارگذاری متغیر بر اساس رابطه ۵۴ برای ضخامت‌های متفاوت.

حذف می‌شوند و این روند تا به صفر رسیدن کل بار وارده یعنی زمان $t = T_2$ ادامه خواهد داشت. پس از حذف کامل بار وارد بر ورق، تغییر شکل کشسان در ورق رخ نمی‌دهد و جابه‌جایی‌های به وجود آمده در آن فقط به دلیل خاصیت ویسکوز ماده است و از آنجایی که باری بر ورق اعمال نمی‌شود، به مرور زمان تغییر شکل‌های مذکور به سمت صفر میل می‌کنند. همان‌گونه که در شکل ۶ نیز مشاهده می‌شود، هر چه زمان حذف بار دیرتر باشد (نمودارهای سمت راست)، چون که جابه‌جایی ورق در زمان حذف بار بزرگ‌تر است، جابه‌جایی ورق پس از حذف بار نیز بزرگ‌تر خواهد بود. از سوی دیگر، برای نشان دادن اثر ضخامت ورق ضخیم در باربرداری ورق‌های ویسکوکشسان، تغییرات ضریب بدون بُعد α بر حسب زمان برای ورق‌هایی با ضخامت‌های متفاوت و مشخصات ارائه شده در جدول ۲ به ازاء مقادیر $T_1 = 900$ s و $T_2 = 1200$ s در شکل ۷ نشان داده شده است، که به خوبی بیان‌گر خواص ویسکوکشسان ورق و اثر ضخامت در تئوری برشی مرتبه‌ی اول است.

۴. نتیجه‌گیری

در نوشتار حاضر، به بررسی خاصیت ویسکوکشسانی ورق‌های ضخیم پرداخته شده است. از این رو از مدل سری پرونی، که یکی از دقیق‌ترین و مؤثرترین مدل‌های منطبق

گونه‌یی که با حذف کامل بارهای وارده، کلیه‌ی تغییر شکل‌های سازه نیز حذف می‌شود و سازه به حالت اولیه‌ی خود باز می‌گردد. به همین دلیل نیز در سازه‌های کشسان نیازی به بررسی تاریخچه‌ی بارهای وارده نیست و تغییر شکل‌های سازه در هر لحظه و بر مبنای بار وارده محاسبه می‌شوند.

برخلاف مواد کشسان، وضعیت ذکر شده برای مواد ویسکوکشسان کاملاً متفاوت خواهد بود. در مواد ویسکوکشسان، بارگذاری اعمالی به یک سازه‌ی ویسکوکشسان پس از ایجاد یک تغییر شکل ناگهانی کشسان به مرور زمان ایجاد تغییر شکل‌های بیشتری می‌کند، که ناشی از رفتار ویسکوز ماده است.

بنابراین در صورت حذف بارهای وارده انتظار می‌رود که در لحظه‌ی اولیه‌ی حذف بارها، ابتدا فقط تغییر شکل‌های ناشی از رفتار کشسان ماده حذف شوند و سپس با گذشت زمان، تغییر شکل‌های باقی‌مانده‌ی ناشی از رفتار ویسکوز ماده نیز به مرور از بین بروند. با توجه به این‌که خاصیت اشاره شده مختص خواص ماده است، باید در مورد بارگذاری ورق‌ها نیز صادق باشد.

برای بررسی پدیده‌ی مذکور و توانایی روش نوار محدود در نشان دادن خاصیت ذکر شده، یک ورق ویسکوکشسان مربعی تحت بارگذاری گسترده‌ی یکنواخت منظور شده است. از آنجا که هدف بررسی رفتار ورق تحت اثر باربرداری است، در زمان مشخصی بار وارد بر ورق حذف می‌شود. در صورتی که زمان آغاز حذف بارگذاری T_1 و زمان پایان حذف بارگذاری T_2 نامیده شود، می‌توان بار وارد بر ورق را به کمک رابطه‌ی ۵۴ محاسبه کرد:

$$q_z = \begin{cases} 98/1 \text{ kPa} & : 0 \leq t \leq T_1 \\ \frac{(T_2 - t)}{T_2 - T_1} \times 98/1 \text{ kPa} & : T_1 \leq t \leq T_2 \\ 0 & : t \geq T_2 \end{cases} \quad (54)$$

جهت بررسی اثر ذکر شده، یک ورق با مشخصات ارائه شده در جدول ۲ و تعداد ۱۵ نوار و بازه‌ی زمانی $\Delta T = 0/5$ s در نظر گرفته شده است، که تغییر شکل‌های به دست آمده برای آن در شکل ۶ مشاهده می‌شود. مطابق شکل مذکور، تغییر شکل‌های ورق تا قبل از شروع زمان باربرداری منطبق بر روند مورد انتظار یک ماده‌ی ویسکوکشسان، که پیشتر درباره‌ی آن صحبت شد، رفتار می‌کند. سپس با شروع حذف بار وارده، جابه‌جایی‌های ورق شروع به کاهش می‌کنند. از آنجایی که حذف بار گسترده وارد بر ورق در هر لحظه‌ی زمانی به صورت آنی انجام می‌گیرد، در هر لحظه فقط جابه‌جایی‌های ناشی از رفتار کشسان ورق

بارگذاری تغییرشکل‌های ورق افزایش می‌یابد؛ به گونه‌ی که در اولین لحظه‌ی بارگذاری، یک تغییرشکل اولیه ناشی از رفتار کشسان آن به وجود می‌آید. سپس جابه‌جایی بیشینه رخ داده در ورق با افزایش زمان بارگذاری به مرور اضافه می‌شود، به گونه‌ی که نرخ افزایش تغییرشکل مذکور با افزایش زمان بارگذاری کم می‌شود. به این ترتیب اثر خاصیت ویسکوزیته‌ی ماده نمایان‌تر می‌شود و با کاهش نرخ افزایش تغییرشکل‌ها، جابه‌جایی‌های ایجاد شده در ورق به مقدار مشخصی میل می‌کند. تغییرشکل‌های ورق تا قبل از شروع زمان باربرداری منطبق بر روند موردانتظار یک ماده‌ی ویسکوکشسان، که پیش‌تر درباره‌ی آن صحبت شد، رفتار می‌کند. سپس با شروع حذف بار وارده، جابه‌جایی‌های ورق شروع به کاهش می‌کنند. از آنجایی که حذف بار گسترده وارد بر ورق در هر لحظه‌ی زمانی به صورت آنی انجام می‌گیرد، در هر لحظه فقط جابه‌جایی‌های ناشی از رفتار کشسان ورق حذف می‌شوند و این روند تا به صفر رسیدن کل بار وارده ادامه خواهد داشت. پس از حذف کامل بار وارد بر ورق، تغییرشکل کشسان در ورق رخ نمی‌دهد و جابه‌جایی‌های به وجود آمده در آن فقط به دلیل خاصیت ویسکوز ماده است و از آنجایی که باری بر ورق اعمال نمی‌شود، به مرور زمان تغییرشکل‌های مذکور به سمت صفر میل می‌کنند. هر چه زمان حذف بار دیرتر باشد، به دلیل آنکه جابه‌جایی ورق در زمان حذف بار بزرگ‌تر است، جابه‌جایی ورق پس از حذف بار نیز بزرگ‌تر خواهد بود.

بر رفتار مواد مذکور است، استفاده شده است. همچنین روش نوار محدود به عنوان روش پژوهش انتخاب شده است، که در جهت طولی نوار، ترکیبات سینوس وکسینوس برای ارضاء شرایط مرزی لبه‌های عرضی ورق و در جهت عرضی، توابع شکل هرمیتی دارد. جهت استخراج ماتریس‌های سختی و بردارهای نیرویی از رابطه‌ی کار مجازی استفاده شده است. به این ترتیب پس از درون‌یابی تغییرشکل‌ها، رابطه‌ی کار مجازی برای هر المان نوشته و ماتریس‌های سختی استاندارد، سختی هندسی و بردارهای نیرویی بر اساس آن استخراج شده است. از آنجایی مشخصات ماده در طول زمان تغییر می‌کند، لازم است تا بازه‌ی زمانی موردنظر در مسئله به تعدادی بازه‌ی زمانی کوچک‌تر تقسیم شود. به این ترتیب مسئله به کمک حل یک مسئله‌ی مقادیر اولیه بررسی خواهد شد. در واقع انتگرال‌های به کار رفته در بیان رفتار ویسکوکشسان ماده به صورت حاصل جمع انتگرال‌های مجزا در بازه‌های زمانی کوچک‌تر تقریب زده می‌شوند. بدین ترتیب حل مسئله در هر زمان به تاریخچه‌ی تغییرشکل‌های آن وابسته خواهد بود. از سوی دیگر، با در نظر گرفتن این مطلب که یکی از مهم‌ترین تفاوت‌های مواد ویسکوکشسان با مواد کشسان زمانی قابل مشاهده است که بارهای وارد بر سازه‌ی ساخته شده از هر یک از مواد مذکور کاهش یابد و یا به طور کلی حذف شود، مثال‌هایی از ورق‌های ویسکوکشسان تحت اثر باربرداری نیز بررسی شد. بر اساس نتایج حاصل می‌توان گفت که در ورق‌های ویسکوکشسان تحت یک بارگذاری ثابت در طول زمان در راستای عمود بر سطح ورق، با افزایش زمان

منابع (References)

1. Flugge, W., *Viscoelasticity (2nd edn)*, Springer, Berlin, Heidelberg (1975).
2. Taylor, R.L., Pister, K.S. and Goudreau, G.L. "Thermo-mechanical analysis of viscoelastic solids", *International Journal for Numerical Methods in Engineering*, **2**(1), pp. 45-90 (1970).
3. Chen, T.M. "The hybrid laplace transform/finite element method applied to the quasi-static and dynamic analysis of viscoelastic Timoshenko beams", *International Journal for Numerical Methods in Engineering*, **38**(1), pp. 509-522 (1995).
4. Zheng-you, Z., Gen-guo, L. and Chang-jun, C. "Quasi-static and dynamical analysis for viscoelastic timoshenko beam with fractional derivative constitutive relation", *Applied Mathematics and Mechanics*, **23**(1), pp. 1-12 (2002).
5. Chen, Q. and Chan, Y.W. "Integral finite element method for dynamical analysis of elastic-viscoelastic composite structures", *Computers and Structures*, **74**(1), pp. 51-64 (2000).
6. Palfalvi, A. "A comparison of finite element formulations for dynamics of viscoelastic beams", *Finite Elements in Analysis and Design*, **44**(14), pp. 814-818 (2008).
7. Payette, G.S. and Reddy, J.N. "Nonlinear quasi-static finite element formulations for viscoelastic Euler-Bernoulli and Timoshenko beams", *Communications in Numerical Methods in Engineering*, **26**(12), pp. 1736-1755 (2010).
8. Johnson, A.R., Tessler, A. and Dambach, M. "Dynamics of thick viscoelastic beams", *Journal of Engineering Materials and Technology*, **119**(3), pp. 273-278 (1997).
9. Kennedy, T.C. "Nonlinear viscoelastic analysis of composite plates and shells", *Composite Structures*, **41**(3-4), pp. 265-272 (1998).
10. Sheng, D.F. and Cheng, C.J. "Dynamical behavior of nonlinear viscoelastic thick plates with damage", *International Journal of Solids and Structures*, **41**(26), pp. 7287-7308 (2004).
11. Hatami, S., Ronagh, H.R. and Azhari, M. "Exact free vibration analysis of axially moving viscoelastic plates", *Computers and Structures*, **86**(17-18), pp. 1738-1746 (2008).
12. Shariyat, M. "A nonlinear double-superposition global-local theory for dynamic buckling of imperfect viscoelastic composite/sandwich plates: A hierarchical constitutive model", *Composite Structures*, **93**(7), pp. 1890-1899 (2011).
13. Jafari, N., Azhari, M. and Heidarpour, A. "Local buckling of thin and moderately thick variable thickness viscoelastic composite plates", *Structural Engineering and Mechanics*, **40**(6), pp. 783-800 (2011).
14. Jafari, N., Azhari, M. and Heidarpour, A. "Local buckling rectangular viscoelastic composite plates", *Mechanics of Advanced Materials and Structures*, **21**(4), pp. 263-272 (2012).

15. Amoushahi, H. and Azhari, M. "Static analysis and buckling of viscoelastic plates by a fully discretized nonlinear finite strip method using bubble functions", *Composite Structures*, **100**, pp. 205-217 (2013).
16. Amoushahi, H. and Azhari, M. "Static and instability analysis of moderately thick viscoelastic plates using a fully discretized nonlinear finite strip formulation", *Composite Part B- Engineering*, **56**, pp. 222-231 (2014).
17. Amoushahi, H., Azhari, M. and Heidarpour, A. "A fully discretised nonlinear finite strip formulation for prebuckling and buckling analyses of viscoelastic plates subjected to time-dependent loading", *Mechanics of Advanced Materials and Structures*, **22**(8), pp. 655-669 (2015).
18. Huang, B., Kim, H.S., Wang, J. and et al. "Time-dependent stress variations in symmetrically viscoelastic composite laminates under uniaxial tensile load", *Composite Structures*, **142**, pp. 278-285 (2016).
19. Mohammadimehr, M., Navi, B.R. and Arani, A.G. "Free vibration of viscoelastic double-bonded polymeric nano-composite plates reinforced by FG-SWCNTs using MSGT, sinusoidal shear deformation theory and meshless method", *Composite Structures*, **131**, pp. 654-671 (2015).
20. Jin, G., Yang, C. and Liu, Z. "Vibration and damping analysis of sandwich viscoelastic-core beam using Reddy's higher-order theory", *Composite Structures*, **140**, pp. 390-409 (2016).
21. Szilard, R. "Theories and Applications of Plate Analysis", *John Wiley & Sons inc.* (2004).
22. Lai, J. and Bakker, A. "3-D Schapery representation for non-linear viscoelasticity and finite element implementation", *Computational Mechanics*, **18**(3), pp. 182-191 (1996).
23. Ready, J.N. "A simple higher order theory for laminated composite plates", *Journal of Applied Mechanics*, **51**(4), pp. 745-752 (1985).